

تأثیر زمان لایه‌نşانی بر خواص ساختاری و فیزیکی پوشش‌های کربنی لایه‌نşانی شده با روش کندوپاش مگنترونی

مهدی یاری^{۱*}، مجید مجتهدزاده^۲ و عبدالله افشار^۳

۱- استادیار، دانشگاه آزاد اسلامی، واحد علوم و تحقیقات، گروه خوردگی، تهران، ایران

۲- استادیار، پژوهشگاه علوم و فنون هسته‌ای، کرج، ایران

۳- استاد، دانشگاه آزاد اسلامی، واحد علوم و تحقیقات، گروه خوردگی، تهران، ایران

*yari.m@srbiau.ac.ir

(تاریخ دریافت: ۱۳۹۰/۰۱/۲۰، تاریخ پذیرش: ۱۳۹۰/۰۳/۲۶)

چکیده

امروزه پوشش‌های کربنی، برای کاربردهای تریبولوژیکی و سایش، الکترونیک، مواد زیستی و پلی‌های سوتی مورد استفاده قرار گرفته است. در این تحقیق که تلاش شده است خواص پوشش‌های کربنی لایه‌نşانی شده بر روی سطح فولاد زنگنزن L316 با روش رسوب فیزیکی فاز بخار کندوپاش مگنترونی، مورد بررسی قرار گیرد، به جز زمان لایه‌نşانی سایر پارامترهای لایه‌نşانی ثابت در نظر گرفته شده است. نتایج به دست آمده نشان داد که پوشش‌های کربنی ایجاد شده ساختار آمورف تا نانوبلوری دارند. با افزایش زمان لایه‌نşانی اندازه خوش‌های گرافیتی در زمان‌های طولانی به دلیل پدیده چیدمان مجدد و برخورد ذرات پر انرژی کاهش می‌باید. بر اساس مدل نواحی ساختاری (SZM) و تصاویر AFM ساختار پوشش‌های کربنی در ناحیه یک یا ستوانی قرار دارد. همچنین با افزایش زمان لایه‌نşانی، مقاومت الکتریکی سطحی به شدت زیاد می‌شود که احتمالاً ناشی از وجود تنش‌های ذاتی فشاری است که تحرک ناقل‌های الکتریکی را کاهش می‌دهد. تأثیر زمان لایه‌نşانی بر روی خواص خوردگی پوشش‌های کربنی کم و یا قابل چشم‌پوشی است.

واژه‌های کلیدی:

پوشش کربنی آمورف، طیف‌سنجی رaman، چیدمان مجدد، مقاومت الکتریکی، خوردگی.

پوشش‌های کربنی محسوب می‌شوند. با تغییر این عوامل انواع مختلفی از پوشش‌های کربنی به دست خواهد آمد [۳]. در پوشش‌های کربنی آمورف کندوپاش شده، چگالی پیوندهای sp^۲ نسبتاً زیاد است. ضمناً مقدار اتم هیدروژن در ساختار این نوع از پوشش‌ها بسیار کم است. اگر چه سختی در این نوع از پوشش‌ها در مقایسه با پوشش‌های کربنی تراهدرال و پوشش‌های کربنی هیدروژنه کمتر است، اما رسانندگی الکتریکی این نوع از پوشش‌ها بالاتر است. امروزه این نوع از

۱- مقدمه امروزه انواع پوشش‌های کربنی برای کاربردهای زیادی مانند تریبولوژیک و سایش [۱]، دیسک‌های ذخیره داده‌ها [۲ و ۳]، بیولوژیک [۴-۷]، نشر میدانی و کاتد سرد [۲] مورد توجه قرار گرفته‌اند [۲ و ۳]. با توجه به ساختار و نوع پیوندها، ویژگی‌های سطحی پوشش‌های کربنی در محدوده وسیعی تغییر می‌کند. مقدار پیوندهای sp^۳ و sp^۲، مقدار هیدروژن اتمی در ساختار و میزان نظم بلوری مهمترین عوامل مؤثر بر روی خواص

شده است. اندازه‌گیری مقاومت الکتریکی پوشش‌های کربنی با روش چهار کاوه انجام شد. برای این منظور از دستگاه مدل Keithly 2361 استفاده شد. به منظور بررسی مقاومت به خوردگی پوشش‌های اعمال شده آزمون پتانسیوبدینامیک برای تمامی نمونه‌های لایه‌نشانی شده انجام گردید. برای این منظور از دستگاه پتانسیواستات مدل EG&G A273 استفاده شده است. محلول آزمایشی یک محلول شیوه‌سازی تسریع شده محیط پل سوختی با غشاء الکتروولیت پلیمری است. این محلول شامل اسید سولفوریک یک مولار و حاوی 5 ppm یون فلورور (F^-) است. از یک میله پلاتینی به قطر 2 mm و طول 4 cm به عنوان الکترود شمارنده استفاده شد. برای اندازه‌گیری پتانسیل نیز از الکترود کالولمل اشباع (SCE)^۱ استفاده گردید. قبل از شروع هر آزمایش برای رسیدن به پایداری مناسب، نمونه‌ها به مدت 60 ثانیه در محلول آزمایشی قرار داده می‌شوند. سرعت روش پتانسیل 1 mV/sec در نظر گرفته شد.

۳- نتایج و بحث

۳-۱- طیف‌سنجدی رامان

طیف‌های رامان به دست آمده از سطح پوشش‌های کربنی لایه‌نشانی شده در شرایط مختلف در شکل (۱) آورده شده است. طیف‌های رامان در محدودهٔ شیفت رامان بین 1600 cm^{-1} تا 3000 cm^{-1} ثبت شده‌اند. به این ترتیب امکان مشاهده هر نوع پیک ناشناخته در محدودهٔ خارج از پیک‌های مربوط به کربن می‌سرخواهد بود. اما با توجه به اینکه هیچگونه پیکی در این محدوده ملاحظه نشد (به جز پیک‌های 2D و 2G ، منحنی طیف‌های رامان در محدودهٔ شیفت رامان بین 1150 cm^{-1} تا 1700 cm^{-1} رسم شده است).

با توجه به شکل (۱)، در تمامی طیف‌های به دست آمده دو پیک قوی مشاهده می‌شود. اولی در نزدیکی 1600 cm^{-1} است که به باند G معروف و مربوط به پیوندهای sp^2 در ساختار گرافیت می‌باشد. پیک دوم که در حدود 1350 cm^{-1} مشاهده می‌شود، باند D نامیده می‌شود و مربوط به عیوب بین صفحه‌ای در ساختار

پوشش‌های کربنی در کاربردهای مانند صفحات دوقطبی در پل‌های سوختی که مقاومت الکتریکی به همراه مقاومت به خوردگی بالا در محیط شدیداً خورنده مورد توجه است [۴-۱۰]، اهمیت زیادی دارد. نویسنده‌گان در تحقیقات گذشته تأثیر دمای لایه‌نشانی بر روی خواص پوشش‌های کربنی را بررسی کرده‌اند. در این تحقیق تلاش شده است، تأثیر زمان لایه‌نشانی بر روی خواص ساختاری و فیزیکی مانند موافلوزی، مقاومت الکتریکی و خوردگی پوشش‌های کربنی لایه‌نشانی شده به روش کندوپاش مگنترونی مورد بررسی قرار بگیرد.

۲- روش تحقیق

در این تحقیق از فولاد زنگ‌زن L_{316} به عنوان زیرلایه استفاده شده است. زیرلایه‌های انتخاب شده دارای ابعاد $10 \times 10 \times 1 \text{ mm}^3$ و زیری سطح حدود 0.4 nm می‌باشد. قبل از فرآیند لایه‌نشانی عملیات چربی‌زدایی دقیق توسط شستشوی نمونه‌ها در استن انجام گرفت. عملیات لایه‌نشانی به روش تبخیر فیزیکی فاز بخار با کندوپاش مگنترونی انجام شد. از یک ورق گرافیتی خالص به عنوان منبع اولیه کربن استفاده شد. پس از اعمال خلاء تا فشار کمتر از 10^{-4} torr هیتر روشن شده تا دمای زیرلایه به 300 درجه سانتی‌گراد برسد. برای ایجاد پلاسمای از محیط گاز آرگون با خلوص بالا و فشار برابر با 10^{-5} torr استفاده گردید. زمان لایه‌نشانی نمونه‌ها بین 8 تا 32 دقیقه با دقت 5 ± 1 ثانیه متغیر بود.

در این تحقیق برای بررسی ساختار پوشش کربنی و مطالعه پیوندها و چیدمان اتم‌های کربنی در پوشش‌های اعمال شده از طیف‌سنجدی رامان استفاده شده است. برای این منظور از دستگاه رامان با لیزر Nd-YAG، طول موج 532 nm و توان 10 mW استفاده شد. برای مشاهده موافلوزی سطحی از میکروسکوپ نیروی اتمی کمک گرفته شد. به منظور بررسی دقیق‌تر تصاویر به دست آمده، کیفیت تصاویر با کمک نرم‌افزار تخصصی با نام WSXМ ver 3.0 ارتقاء داده شد. ضخامت پوشش‌های کربنی با استفاده از پروفایل‌متر مکانیکی مدل ۳ DekTak اندازه‌گیری

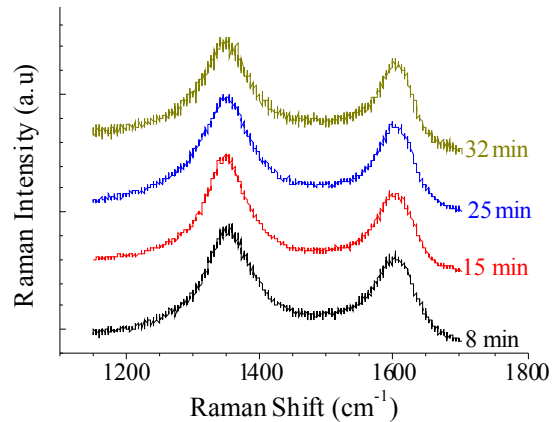
جدول (۱): موقعیت و ویژگی پیک‌های در نظر گرفته شده برای تفکیک طیف رامان با روش لورنتسین [۲۲].

ویژگی	موقعیت پیک (cm^{-1})
پیوندۀای کربن sp^3 نامنظم	۱۱۴۰
الماس	۱۳۳۴
گرافیت نامنظم	۱۳۴۹
پیوندۀای کربن sp^3 نامنظم	۱۴۸۸
گرافیت	۱۵۷۹

جدول (۲): داده‌های استخراج شده از طیف‌های رامان به دست آمده از سطح پوشش کربنی لایه‌نشانی شده در زمان‌های مختلف.

D FWHM (cm^{-1})	G FWHM (cm^{-1})	I_D/I_G	زمان (دقیقه)
۱۰۸	۶۳	۱/۳۶	۸
۹۱	۵۴	۱/۵۱	۱۵
۱۰۴	۵۱	۱/۳۵	۲۵
۱۰۷	۵۴	۱/۲۲	۳۲

مقدار FWHM پیک‌های G و D نشان‌دهنده نظم بلوری در پوشش‌های کربنی است. کاهش FWHM این پیک‌ها نشان‌دهنده فرآیند گرافیتی شدن و تشکیل حلقه‌های گرافیتی در ساختار بلوری کربن است. کاپلی^۳ و همکاران، کاهش FWHM در پیک‌های D و G را به پدیده منظم شدن و تشکیل گرافیت به دلیل واکشن ساختاری وابسته به دما ارتباط داده‌اند [۱۲]. در جای دیگر کاپانو^۴ و همکاران باریک شدن پیک‌های D و G را به وارتفگی در زاویه پیوندی اتم‌های کربن ربط داده‌اند [۱۳]. زاویه پیوندی اتم‌های کربن در ساختار آمورف اعوجاج زیادی دارند. با افزایش بلوری شدن وارتفگی در زاویه پیوندی رخ می‌دهد و در نتیجه زاویه پیوندۀای sp^3 به حالت پایدار خود یعنی 120° تزدیک می‌شود. چیدمان مجدد اتمی در ایجاد این وارتفگی در زاویه پیوندی اتم‌های کربن بسیار مؤثر است. افزایش نسبت I_D/I_G نیز نشان‌دهنده افزایش نظم بلوری در کربن آمورف لایه‌نشانی شده است [۳، ۱۳، ۱۷، ۱۸، ۲۱-۲۷]. ساختار کربن آمورف شامل حلقه‌های پنج‌ضلعی و شش‌ضلعی نامنظم



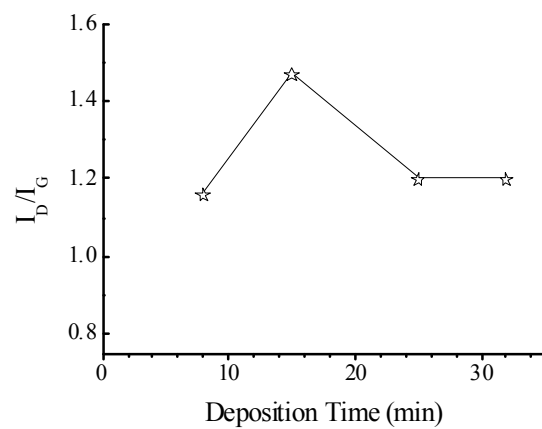
شکل (۱): طیف‌های رامان به دست آمده از سطح پوشش کربنی لایه‌نشانی شده در دمای 300°C و زمان‌های مختلف.

گرافیت است. مهمترین این عیوب وجود پیوندۀای کربن sp^3 می‌باشد [۱، ۳، ۱۱-۲۱]. موقعیت، شدت و پهنه‌ای هر کدام از این پیک‌ها مشخصات جالب توجهی از ساختار کربنی ارائه می‌دهند [۳-۲۱].

نکته مهم این است که این دو پیک همپوشانی دارند و برای بررسی جداگانه این پیک‌ها باید وضعیت هر کدام از این دو پیک در طیف رامان از هم تفکیک شود. در تحقیق حاضر، تفکیک این دو پیک با استفاده از نرمافزار Origin و با روش لورنتسین انجام گرفت. اگرچه برخی از مراجع تفکیک پیک‌ها را با استفاده از روش گوس انجام داده‌اند [۱۱، ۱۵ و ۱۶] اما به نظر می‌رسد نتایج به دست آمده از روش لورنتسین دقیق‌تر است. این ویژگی‌ها شامل موقعیت پیک، شدت پیک و پهنه‌ای پیک در نیمه بیشینه (FWHM)^۵ می‌باشد. لازم به ذکر است در محدوده شیفت رامان مورد بررسی، امکان وجود پیک‌های دیگر که مربوط به پیوندۀای کربنی باشد، وجود دارد. بنابراین امکان حضور این پیک‌ها نیز در عملیات تفکیک طیف‌های رامان لحاظ شده است. در جدول (۱) موقعیت و مشخصات پیک‌هایی که امکان مشاهده آنها در محدوده مطالعه وجود دارد، ارائه شده است. در جدول (۲) نیز نتایج به دست آمده از تفکیک طیف‌های رامان پوشش‌های کربنی لایه‌نشانی در شرایط مختلف مشاهده می‌شود.

(۱) با توجه به اینکه نقطه ذوب گرافیت حدود ۳۸۰۰ درجه سانتی گراد است، به نظر می‌رسد احتمالی برای چیدمان مجدد در محدوده‌های دمایی که لایه‌نشانی انجام شده است (یعنی ۳۰۰ درجه سانتی گراد) وجود نداشته باشد. چرا که بر اساس نظریه‌های کلاسیک خواص فیزیکی مواد، دمای تبلور مجدد عواملًا نصف نقطه ذوب بر حسب کلوبین است. در این رابطه باید به دو نکته مهم توجه کرد. اول این که باید نقش فشار محفظه لایه‌نشانی را نیز در فرآیند تبلور مجدد در نظر گرفت. فشار محفوظه حدود $5/5 \times 10^{-3}$ torr است. واضح است که با کاهش فشار، نقطه ذوب کاهش می‌یابد. همچنین، اندازه دانه‌های بلوری نیز در دمای تبلور مجدد تأثیرگذار است. هر چه این اندازه‌ها ریزتر باشد، دمای تبلور مجدد کاهش می‌یابد. همانطور که در ادامه به آن اشاره می‌شود، اندازه دانه‌های بلوری در این پوشش‌های کربنی در محدوده ناتومتری قرار دارد. به نظر می‌رسد این موارد، احتمال وقوع چیدمان مجدد در دماهای کمتر را تقویت می‌کند.

(۲) برای چیدمان مجدد نیاز به یک نیروی محرکه است. بر اساس نظریه‌های کلاسیک خواص فیزیکی مواد، این نیروی محرکه در نتیجه انجام کارسرد تأمین می‌شود. اما در مورد پوشش کربنی ایجاد شده منشاء این نیروی محرکه نامشخص است. به نظر می‌رسد در اینجا هم نیروی محرکه مورد نیاز برای چیدمان مجدد، منشاء مکانیکی دارد. احتمالاً تنش‌های پسماند در نتیجه افزایش ضخامت لایه‌های کربنی می‌تواند نیروی محرکه لازم برای وقوع چیدمان مجدد را تأمین کند. همانطور که در ادامه اشاره می‌شود، تنش‌های ذاتی پسماند در پوشش‌های کربنی آمورف نسبتاً زیاد است [۲۵]. بنابراین با افزایش زمان لایه‌نشانی و افزایش ضخامت لایه‌های کربنی تنش‌های پسماند در داخل لایه‌های کربنی افزایش می‌یابد. تا اینکه در زمان‌های لایه‌نشانی بیشتر از ۱۵ دقیقه، این تنش به حدی می‌رسد که می‌تواند نیروی محرکه لازم برای چیدمان مجدد را تأمین کند. همچنین، برخورد ذرات با بار منفی (مانند الکترون‌ها) در محیط پلاسمای سطح

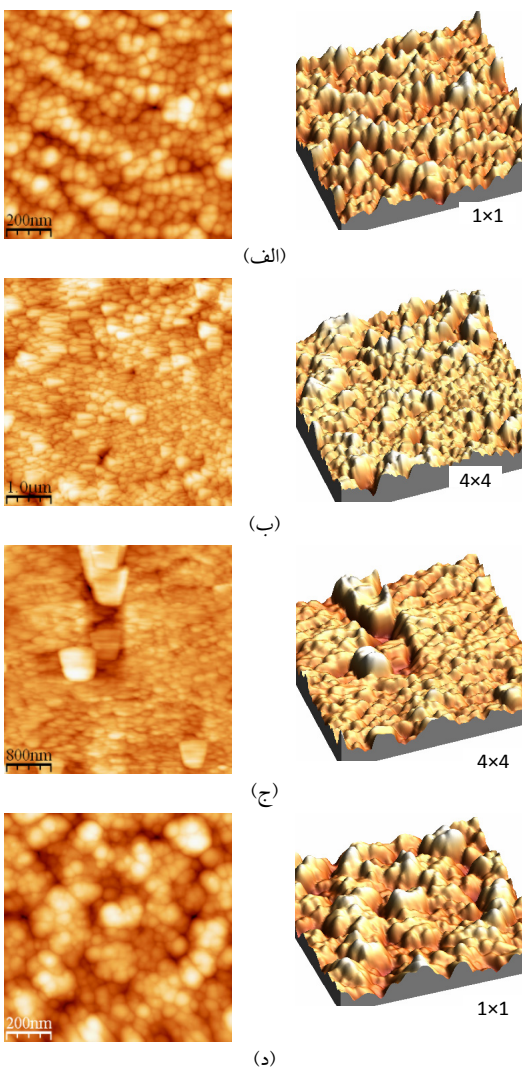


شکل (۲): تغییرات نسبت I_D/I_G با زمان لایه‌نشانی برای دمای 300°C .

است. با افزایش نسبت I_D/I_G احتمال تشکیل حلقه‌های منظم بدون اعوجاج افزایش می‌یابد. به عبارت دیگر افزایش شدت پیک D نشان‌دهنده افزایش تعداد حلقه‌های آروماتیک شش‌ضلعی و افزایش درجه نظم در آنها است. بنابراین، نسبت I_D/I_G تعداد خوش‌های با پیوند sp³ افزایش می‌یابد و در نتیجه ساختار شبیه گرافیت به دست خواهد آمد.

در شکل (۲) تغییرات نسبت I_D/I_G با زمان لایه‌نشانی مشاهده می‌شود. نکته جالب توجه اینکه با افزایش زمان لایه‌نشانی تا ۱۵ دقیقه، نسبت I_D/I_G زیاد می‌شود، اما در زمان‌های طولانی‌تر با یک شیب نسبتاً کندی کاهش می‌یابد و یا اینکه ثابت می‌ماند. به نظر می‌رسد که تا زمان ۱۵ دقیقه عیوب بلوری در پوشش کاهش می‌یابد. اما در زمان‌های طولانی‌تر مجددًا مقدار این عیوب در پوشش روند افزایشی نشان می‌دهند.

افزایش نسبت I_D/I_G را می‌توان به فرآیند بلوری شدن و کاهش دانسیتی عیوب در داخل پوشش ارتباط داد. اما کاهش نسبت I_D/I_G احتمالاً می‌تواند ناشی از فرآیند چیدمان مجدد در ساختار پوشش‌های کربنی باشد. وجود تنش در ساختار پوشش کربنی که بر اثر افزایش ضخامت (ناشی از افزایش زمان لایه‌نشانی) می‌تواند ایجاد گردد، احتمال وقوع چیدمان مجدد را افزایش می‌دهد. البته در این رابطه چند نکته مهم وجود دارد که در ادامه توضیح داده می‌شود:



شکل (۳): تصاویر میکروسکوپ نیروی اتمی از سطح پوشش‌های کربنی لایه‌نشانی شده در دمای 300°C به مدت (الف) ۸ دقیقه، (ب) ۱۵ دقیقه، (ج) ۲۵ دقیقه و (د) ۳۲ دقیقه.

۲-۳- تصاویر میکروسکوپ نیروی اتمی

در شکل (۳) تصاویر دو بعدی و سه بعدی از سطح پوشش‌های کربنی لایه‌نشانی شده در دمای 300 درجه سانتی‌گراد و زمان‌های مختلف مشاهده می‌شود. با توجه به این تصاویر می‌توان نتیجه گرفت که زمان و دمای لایه‌نشانی نقش مهمی را در تکامل تدریجی ساختار لایه‌های کربنی ایفاء می‌کند. در حالت کلی در روش رسوب فیزیکی فاز بخار، با افزایش ضخامت که رابطه مستقیمی با زمان لایه‌نشانی دارد، باید اندازه دانه‌ها افزایش یابد. بنابراین انتظار می‌رود که با افزایش زمان

زیرلایه در حین لایه‌نشانی و در زمان‌های طولانی هم می‌تواند نیروی محركه لازم را تأمین کند.

بنابراین اگر چه در دمای 300 درجه سانتی‌گراد، انرژی حرارتی برای تبلور مجدد کافی نیست، اما به دلیل وجود تنفس پسماند زیاد در ساختار پوشش و نیز برخورد ذرات باردار با سطح پوشش، امکان وقوع چیدمان مجدد فراهم می‌شود. به عبارت دیگر تنفس‌های پسماند، برخورد ذرات باردار و دما سه عاملی هستند که به صورت موازی بر روی روند چیدمان مجدد تأثیر می‌گذارند.

در مطالعاتی که در رابطه با طیف‌سنجی رامان پوشش‌های کربنی انجام گرفته است، به ندرت به نقش زمان لایه‌نشانی اشاره شده است. صرفاً در یک تحقیق که توسط تای^۵ و همکاران [۱۵] انجام شده است، تأثیر عملیات حرارتی در محدوده بین 150 تا 500 درجه سانتی‌گراد بر روی ساختار پوشش کربنی حاصل از روش FCVA^۶ بررسی شده است. آنها نشان دادند که با افزایش زمان پازپخت تا 300 دقیقه نسبت I_D/I_G افزایش می‌یابد. اگر چه در دمای‌های بالاتر سرعت افزایش کم است.

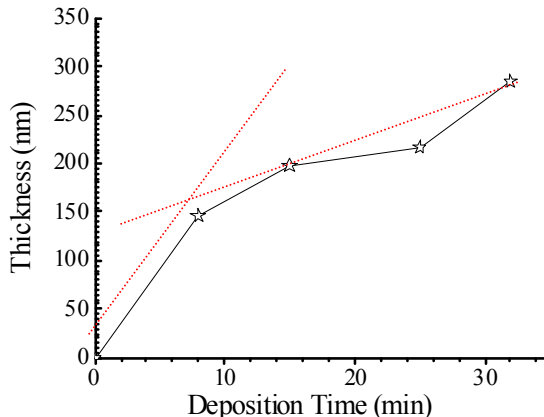
فراری^۷ [۱ و ۱۹]، برای لایه‌های کربن آمورف که در دمای بالا تهیه می‌شوند، نشان داد که وقتی اندازه دانه‌های گرافیت یا دامنه نظم درون‌صفحه‌ای (L_a) کمتر از 2 nm است، رابطه نسبت I_D/I_G با به صورت زیر نوشته می‌شود:

$$\frac{I_D}{I_G} = c \cdot L_a^2 \quad (1)$$

در این رابطه c یک ضریب ثابت و برابر 0.0055 است [۱۹]. پیک G نشان‌دهنده پیوندهای sp^2 است. اما پیک D فقط ناشی از حلقه‌های شش‌ضلعی است [۱ و ۱۹].

بنابراین زمانی که نسبت I_D/I_G کاهش می‌یابد، در واقع تعداد حلقه‌ها در هر خوشه کاهش می‌یابد. یعنی اندازه گروههای زنجیره‌ای کم می‌شود [۱ و ۱۹].

در این تحقیق بر اساس رابطه (۱) اندازه خوشه‌های گرافیتی بین 13 تا 17 آنگستروم با مقدار خطای اندازه‌گیری حداقل $A^{\circ} \pm 0.07$ محاسبه شد.



شکل (۴): منحنی تغییرات ضخامت پوشش کربنی با زمان لایه‌نشانی.

لایه‌نشانی ۳۰۰ درجه سانتی گراد، عموماً رشد ناحیه I قابل مشاهده است. برای نمونه، در تصویر میکروسکوب نیروی اتمی مربوط به پوشش کربنی لایه‌نشانی شده در دمای ۳۰۰ درجه سانتی گراد به مدت ۱۵ دقیقه (شکل ۳-ب) رشد ناحیه I به وضوح قابل مشاهده است.

۳-۳-۳- اندازه‌گیری ضخامت

شکل (۴) منحنی تغییرات ضخامت لایه‌های کربنی را با زمان لایه‌نشانی برای دمای لایه‌نشانی برابر با ۳۰۰ درجه سانتی گراد نشان می‌دهد. همانطور که ملاحظه می‌شود، با افزایش زمان لایه‌نشانی، به دلیل افزایش انباست ماده رسوب کرده ضخامت پوشش افزایش می‌یابد.

اما آنچه اهمیت دارد این است که سرعت افزایش ضخامت پوشش کربنی در ابتدا نسبتاً زیاد است و با گذشت زمان لایه‌نشانی کاهش می‌یابد. در مراجع مختلف به کاهش نرخ رشد با افزایش ضخامت پوشش‌های کربنی اشاره شده است [۲۸]. در زمان‌های اولیه که سرعت رشد نسبتاً زیادتر است، به ترتیب جوانه‌زنی جزیره‌ها، رشد آنها و به هم پیوستن آنها اتفاق می‌افتد. تشکیل سریع جزیره‌ها و رشد سه‌بعدی آنها باعث می‌شود که سرعت افزایش ضخامت پوشش زیاد باشد. در حالی که در زمان‌های طولانی‌تر، به دلیل رشد همگن لایه‌های کربنی سرعت رشد کاهش می‌یابد و در مقدار ثابتی باقی می‌ماند. مکانیزم رشد

لایه‌نشانی، پوشش با توزیع یکنواختی از دانه‌های درشت و پهن مشاهده شود. اما آنچه مشاهده می‌شود، خلاف انتظار است. به عبارت دیگر در زمان‌های لایه‌نشانی کوتاه (۸ دقیقه) برای تمام دماهای لایه‌نشانی پوشش نسبتاً یکنواختی روی سطح نمونه مشاهده می‌شود که به جز چند برآمدگی اتفاقی، دانه‌ها به صورت منسجم روی سطح ظاهر شده‌اند.

با افزایش زمان لایه‌نشانی یکنواختی پوشش کاهش می‌یابد. به عبارت دیگر با افزایش زمان لایه‌نشانی توزیع دانه‌ها از نظر شکل و اندازه یکنواخت نیست. برخورد ذرات مانند الکترون‌ها و اتهای کندوپاش شده بر روی سطح می‌تواند مهمترین دلیل برای این پدیده در زمان‌های طولانی‌تر باشد. لازم است که مجدداً به این موضوع اشاره شود که در روش کندوپاش مگنترونی مورد استفاده در این پژوهش، باید علاوه بر عامل زمان لایه‌نشانی، اثر ذرات برخوردی به سطح پوشش در هنگام لایه‌نشانی نیز مورد توجه قرار بگیرد.

نکته دیگری که در اینجا حائز اهمیت است، بررسی تصاویر میکروسکوپ نیروی اتمی پوشش‌های کربنی بر اساس مدل نواحی ساختاری (SJM) ^۸ می‌باشد [۲ و ۲۷]. مدل نواحی ساختاری اولین بار توسط موچان^۹ و دمچیشین^{۱۰} ارائه شد. اما بعدها بر اساس نظریات تورنتون^{۱۱}، اصلاحاتی در این مدل انجام گرفت [۲۷].

همانطور که اشاره شد، بر اساس مدل نواحی ساختاری در صورتی که دمای زیرلایه (T_s) کمتر از $\frac{2}{3} T_m$ دمای ذوب ماده پوشش (T_m)، یعنی $T_s < \frac{2}{3} T_m$ باشد، پوشش مطابق ناحیه I رشد می‌کند [۲۷]. اگر چه این معیار برای فلزات خالص ارائه شده است، اما فرض می‌شود که بتوان کربن را در گروه فلزات قرار داد. نقطه ذوب کربن در فشار محیط برابر با ۳۷۷۳ K درجه سانتی گراد است. با فرض اینکه تغییر دمای ذوب با فشار قابل چشم‌پوشی باشد، $T_m = 0.3 T_s$ برابر با ۱۱۳۱ K خواهد شد. بنابراین به نظر می‌رسد ساختار پوشش‌های کربنی در ناحیه I قرار دارد. با توجه به تصاویر میکروسکوپ نیروی اتمی، در دماهای

این تنش‌های ذاتی زیاد را به وجود مقدار زیاد پیوندهای sp^3 در ساختار پوشش‌های کربن آمورف ارتباط داده‌اند [۲۵].

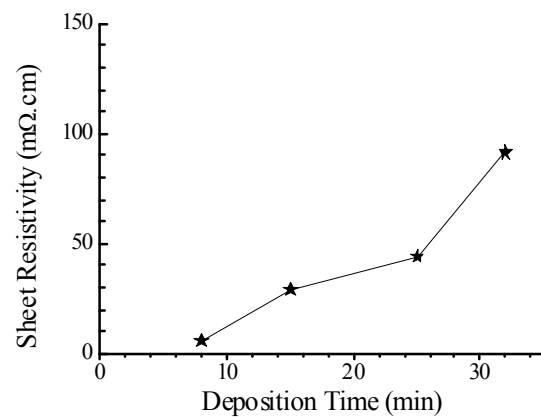
در مقالات مختلف، مقادیر این تنش‌های ذاتی فشاری محاسبه و بین ۱ تا ۶ گیگاپاسکال گزارش شده است [۲۵، ۲۹ و ۳۱] به نظر می‌رسد وجود تنش‌های ذاتی تأثیر جالب توجهی روی خواص الکتریکی پوشش‌های کربنی دارند. این تنش‌ها باعث ایجاد کرنش و اعوجاجی در ساختار پوشش کربنی می‌شوند که تحرک ناقل‌های الکتریکی (الکترون‌ها) را به شدت کاهش می‌دهند. امکان تحرک ناقل‌های الکتریکی در پوشش‌های کربنی به دلیل وجود تنش‌های ذاتی پسمند سلب می‌شود. همچنین با افزایش ضخامت، این تنش‌های ذاتی بیشتر شده و در نتیجه تحرک ناقل‌های الکتریکی کاهش می‌یابد.

۳-۵- منحنی‌های پلاریزاسیون

منحنی‌های پلاریزاسیون پتانسیویدنامک پوشش‌های کربنی لایه‌نشانی شده در دمای لایه‌نشانی 300°C درجه سانتی‌گراد و زمان‌های مختلف در شکل (۶) مشاهده می‌شود. همچنین، منحنی تغییرات چگالی جریان خوردگی پوشش‌های کربنی با زمان لایه‌نشانی در شکل (۷) آورده شده است. همانطور که ملاحظه می‌شود، در ابتدا چگالی جریان خوردگی افزایش می‌یابد و سپس از خود روند کاهشی نشان می‌دهد. البته لازم به ذکر است که اختلاف بیشترین و کمترین چگالی جریان خوردگی در زمان‌های مختلف لایه‌نشانی حدود 10^{-8} A/cm^2 است و این تغییرات چگالی جریان خوردگی نسبت به زمان لایه‌نشانی برای نمونه‌های لایه‌نشانی شده بسیار کم و قابل چشم‌پوشی است. با این حال به نظر می‌رسد چگالی جریان خوردگی کم در زمان‌های کوتاه مربوط به چگالی عیوب سطحی کم باشد.

در حالی که این پدیده برای زمان‌های بسیار طولانی با تشکیل رسوب کربنی بر روی عیوب سطحی و پوشاندن آنها توجیه شده می‌شود.

در شکل (۸) منحنی تغییرات پتانسیل خوردگی نسبت به زمان لایه‌نشانی مشاهده می‌شود.



شکل (۵): منحنی تغییرات مقاومت الکتریکی پوشش کربنی با زمان لایه‌نشانی.

همگن زمانی رخ می‌دهد که جزیره‌های تشکیل شده در هم ادغام شده باشند. در مکانیزم رشد همگن سرعت رشد ثابت باقی می‌ماند. بر اساس مراجع تغییر مکانیزم رشد همگن برای پوشش کربنی لایه‌نشانی شده به روش کندوپاش مگترونی در ضخامت‌های بالاتر از 24 nm اتفاق می‌افتد [۲۸]. اما در نتایج ارائه شده در شکل (۴)، تغییر در شب افزایش ضخامت پوشش در زمان ۸ دقیقه مشاهده می‌شود. با توجه به اینکه ضخامتی برای زمان‌های کوتاه‌تر از ۸ دقیقه اندازه‌گیری نشده است، نمی‌توان زمان تغییر مکانیزم رشد لایه کربنی را دقیقاً تخمین زد. اما صرفاً می‌توان گفت که این زمان کمتر از ۸ دقیقه (40 ثانیه) است. بنابراین، با افزایش زمان لایه‌نشانی علاوه بر افزایش ضخامت پوشش تغییر در سرعت افزایش ضخامت نیز مشاهده می‌شود که ناشی از تغییر در مکانیزم رشد لایه‌های کربنی است.

۳-۴-۳- مقاومت الکتریکی سطحی

در شکل (۵) منحنی‌های تغییرات مقاومت الکتریکی پوشش‌های کربنی نسبت به زمان لایه‌نشانی در دمای 300°C درجه سانتی‌گراد مشاهده می‌شود. همانطور که ملاحظه می‌شود، با افزایش زمان لایه‌نشانی (افزایش ضخامت پوشش) مقاومت الکتریکی لایه‌های کربنی به شدت افزایش می‌یابد.

در مراجع مختلف وجود تنش‌های ذاتی فشاری در پوشش‌های کربنی آمورف گزارش شده است [۲۵، ۲۹ و ۳۰]. آنها وجود

با توجه به این شکل تغییرات پتانسیل خوردگی ناچیز و قابل چشمپوشی است. به عبارت دیگر زمان لایه‌نشانی تأثیر قابل توجهی روی تمایل به خوردگی پوشش‌های کربنی لایه‌نشانی شده در دمای مختلف ندارد. البته به نظر می‌رسد تغییرات چگالی جریان خوردگی و پتانسیل خوردگی با زمان لایه‌نشانی با اندازه خوش‌های گرافیتی (شکل ۲) ارتباط دارد. زمانی که اندازه خوش‌های گرافیتی در زمان لایه‌نشانی ۱۵ دقیقه افزایش می‌یابد، چگالی جریان خوردگی زیاد شده و پتانسیل خوردگی کاهش یافته است. در واقع تأثیر ساختار و مورفولوژی پوشش بر مقاومت به خوردگی پوشش بیشتر از ضخامت پوشش است.

۴- نتیجه‌گیری

پوشش‌های کربنی آمورف با روش کندوپاش مگترونی رسوب فیزیکی فاز بخار اعمال شده و تأثیر زمان لایه‌نشانی بر روی خواص مختلف پوشش مورد بررسی قرار گرفت که در نهایت به اختصار ارائه می‌گردد:

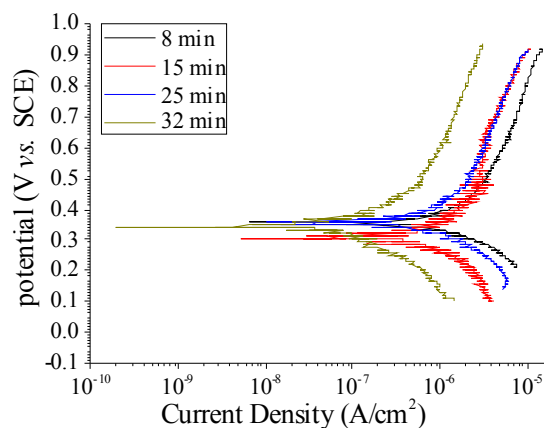
۱- انرژی برخورد ذرات باردار، دمای بالا و وجود تنش در ساختار لایه‌های کربنی باعث شده است که با گذشت زمان چیدمان مجدد رخ داده و اندازه خوش‌های گرافیتی کاهش می‌یابد.

۲- اندازه خوش‌های گرافیتی در تمامی پوشش‌های کربنی در حد نانومتری و کمتر از 2 nm است.

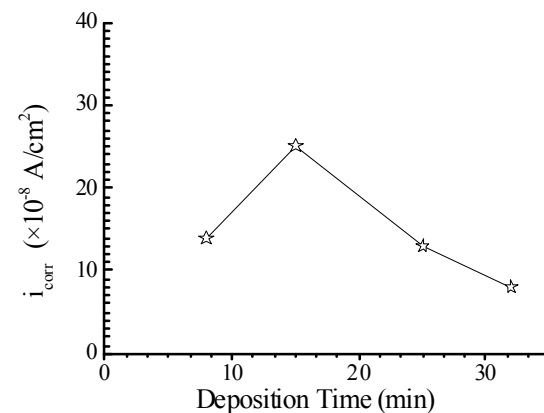
۳- بر اساس مدل نواحی ساختاری، تمامی پوشش‌های کربنی لایه‌نشانی شده، در ناحیه I قرار دارند و تشکیل ساختار ستونی مشهود است.

۴- با افزایش زمان لایه‌نشانی، یک تغییر در نرخ افزایش ضخامت پوشش مشاهده می‌شود که ناشی از تغییر در مکانیزم لایه‌نشانی، از رشد جزیره‌ای به رشد همگن، است.

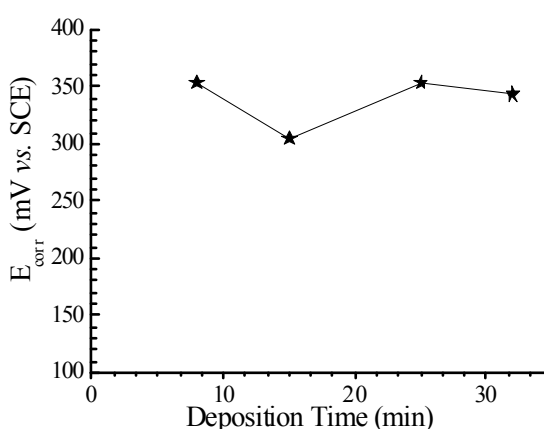
۵- با افزایش زمان لایه‌نشانی مقاومت الکتریکی سطحی، به دلیل افزایش تنش‌های ذاتی فشاری و محدودیت در تحرک ناقل‌ها، به شدت افزایش می‌یابد.



شکل (۶): منحنی‌های پتانسیوپلیستیک پوشش‌های کربنی لایه‌نشانی شده در دمای 300°C و زمان‌های مختلف.



شکل (۷): منحنی تغییرات چگالی جریان خوردگی (i_{corr}) نسبت به زمان لایه‌نشانی برای پوشش‌های کربنی ایجاد شده در دمای 300°C .



شکل (۸): منحنی تغییرات پتانسیل خوردگی (E_{corr}) با زمان لایه‌نشانی برای پوشش‌های کربنی ایجاد شده در دمای 300°C .

- Fuel Cells", International Journal of Hydrogen Energy, Vol. 34, pp. 6771-6777, 2009.
- [11] D. Tallant, T. A. Freidmann, M. A. Misset, M. P. Siegal and J. P. Sullivan, "Raman Spectroscopy of Amorphous Carbon", National Technical Information Service, Report Number: SAND-98-0128C, Jan 1998.
- [12] E. Cappelli, S. Orlando, G. Mattei, S. Zoffoli and P. Ascarelli, "SEM and Raman Investigation of RF Plasma Assisted Pulsed Laser Deposited Carbon Films", Applied Surface Science, Vol. 197-198, pp. 452-457, 2002.
- [13] M. Capano and N. T. McDevitt, "Characterization of Amorphous Carbon Thin Films", Journal of Vacuum Science and Technology A, Vol. 14, pp. 431-435, 1996.
- [14] J. Sui, Z. Y. Gao, W. Cai and Z. G. Zhang, "Corrosion Behavior of NiTi Alloys Coated with Diamond-Like Carbon (DLC) Fabricated by Plasma Immersion Ion Implantation and Deposition", Materials Science and Engineering A, Vol. 452-453, pp. 518-523, 2007.
- [15] B. K. Tay, D. Sheeja, S. P. Lau, X. Shi, B. C. Seet and Y. C. Yeo, "Time and Temperature-Dependent Changes in the Structural Properties of Tetrahedral Amorphous Carbon Films", Surface and Coatings Technology, Vol. 130, pp. 248-251, 2000.
- [16] M. Chhowalla, A. C. Ferrari, J. Robertson and G. A. J. Amaralunga, "Evolution of sp^2 Bonding with Deposition Temperature in Tetrahedral Amorphous Carbon Studied by Raman Spectroscopy", Applied Physics Letters, Vol. 76, pp. 1419-1421, 2000.
- [17] S. C. Ray et al, "Orientation of Graphitic Planes During Annealing of "Dip Deposited" Amorphous Carbon Film: A Carbon K-Edge X-Ray Absorption Near-Edge Study", Carbon, Vol. 44, pp. 1982-1985, 2006.
- [18] E. Cappelli, S. Orlando, G. Mattei, C. Scilletta, F. Corticelli and Ascarelli, "Influence of PLD and CVD Experimental Growth Conditions on Carbon Film Nano-Structure Evaluation", NATO-ASI Conference: Nano-Engineered Nanofibrous Materials, Turkey, pp. 75-81, 2003.
- [19] A. C. Ferrari and J. Robertson, "Interpretation of Raman Spectra of Disordered and Amorphous Carbon", Physical Review 61B, pp. 14095-14107, 2000.
- [20] E. Cappelli, S. Iacobucci, P. Ascarelli, F. Borgatti, A. Giglia, N. Mahne and S. Nannarone, "Orientation Tendency of PLD Carbon Films as a Function of Substrate Temperature: A NEXAFS Study", Diamond & Related Materials, Vol. 14, pp. 959-964, 2005.
- [21] L. C. Nistor, V. G. Ralchenko, E. D. Obraztsova and A. A. Smolin, "Nanocrystalline Diamond Films: Transition Electron Microscopy and Raman Spectroscopy Characterization", Diamond and Related Materials Vol. 6, pp. 159-168, 1997.
- [22] M. Vinnichenko, R. Gago, N. Huang, Y. X. Leng, H. Sun, U. Kreissig, M. P. Kulish and M. F. Maitz, "Spectroscopic Ellipsometry Investigation of Amorphous Carbon films with Different sp Content: Relation with 3 Protein Adsorption", Thin Solid Films, Vol. 455-456, pp. 530-534, 2004.
- [6] با افزایش زمان لایه‌نشانی، در ابتدا به دلیل افزایش عیوب سطحی، چگالی جریان خوردگی افزایش می‌یابد. اما در ادامه به دلیل تحرک زیاد اتم‌ها در دمای بالا و پر کردن فضای خالی بین تخلخل‌ها، سرعت خوردگی کاهش می‌یابد.
- [7] تغییرات پتانسیل خوردگی با زمان لایه‌نشانی نشان داد که زمان لایه‌نشانی تأثیر قابل توجهی در تمایل به خوردگی پوشش‌های کربنی ندارد.

۵- مراجع

- [1] A. C. Ferrari, B. Kleinsorge, G. Adamopoulos, J. Robertson, W. I. Milne, V. Stolojan b, L. M. Brown b, A. LiBassi c and B. K. Tanner, "Determination of Bonding in Amorphous Carbons by Electron Energy Loss Spectroscopy, Raman Scattering and X-Ray Reflectivity", Journal of Non-Crystalline Solids, Vol. 266-269, pp. 765-768, 2000.
- [2] M. Ohring, "Materials Science of Thin Films: Deposition and Structure", 2nd Edition, ISBN: 0-12-524975-6, 2002.
- [3] J. Robertson, "Diamond-Like Amorphous Carbon", Materials Science and Engineering R37, pp. 129-281, 2002.
- [4] Y. Show, M. Miki and T. Nakamura, "Increased in Output Power from Fuel Cell Used Metal Bipolar Plate Coated with a-C Film", Diamond & Related Materials, Vol. 16, pp. 1159-1161, 2007.
- [5] C. Chung, Sh. Chen, T. Chin, T. Lin, W. Chang and Sh. Hsiao, "Catalyst Layer-Free Carbon-Coated Steel-An Easy Route to Bipolar Plates of Polymer Electrolyte Membrane Fuel Cells: Characterization on Structure and Electrochemistry", Journal of Power Sources Vol. 186, pp. 393-398, 2009.
- [6] Y. Show, "Electrically Conductive Amorphous Carbon Coating on Metal Bipolar Plates for PEFC", Surface & Coatings Technology, Vol. 202, pp. 1252-1255, 2007.
- [7] T. Fukutsuka, "Carbon-Coated Stainless Steel as PEFC Bipolar Plate Material", Journal of Power Sources, Vol. 174, pp. 199-205, 2007.
- [8] C. Chung, Sh. Chen, P. Chiu, M. Chang, T. Hung and T. Ko, "Carbon Film-Coated 304 Stainless Steel as PEMFC Bipolar Plate", Journal of Power Sources, Vol. 176, pp. 276-281, 2008.
- [9] Y. Fu, G. Lin, M. Hou, B. Wu, Zh. Shoa and B. Yi, "Carbon-Based Films Coated 316L Stainless Steel as Bipolar Plate for Proton Exchange Membrane Fuel Cells", International Journal of Hydrogen Energy, Vol. 34, pp. 405-408, 2009.
- [10] K. Feng, Y. Shen, H. Sun, D. Liu, Q. An and X. Kai, "Conductive Amorphous Carbon-Coated 316L Stainless Steel as Bipolar Plates in Polymer Electrolyte Membrane

- [30] E. Mounier and Y. Pauleau, "Mechanisms of Intrinsic Stress Generation in Amorphous Carbon Thin Films Prepared by Magnetron Sputtering", Diamond and Related Materials, Vol. 6, pp. 1182-1191, 1997.

- [31] V. Raman and K. Coffey, "Stress Relaxation and Stability of Sputtered Carbon Thin Films", Applied Physics Letters, Vol. 59, pp. 3244-3246, 1991.

- [23] A. C. Ferrari, S. E. Rodil, J. Robertson and W. I. Milne, "Is Stress Necessary to Stabilize sp Bonding 3 in Diamond-Like Carbon?", Diamond and Related Materials, Vol. 11, pp. 994-999, 2002.

- [24] A. A. Onoprienko, V. V. Artamonov and I. B. Yanchuk, "Effect of Deposition and Anneal Temperature on the Resistivity of Magnetron Sputtered Carbon Films", Surface and Coatings Technology, Vol. 172, pp. 189-193, 2003.

- [25] B. K. Tay, X. Shi, E. J. Liu, H. S. Tan and L. K. Cheah, "Effects of Substrate Temperature on the Properties of Tetrahedral Amorphous Carbon Films", Thin Solid Films, Vol. 346, pp. 155-161, 1999.

- [26] P. N. Vishwakarma, "Structural Morphology of Amorphous Conducting Carbon Film", Bulletin of Materials Science, Vol. 28, pp. 609-615, 2005.

- [27] P. M. Martin, "Hand Book of Deposition Technologies for Films and Coatings", 2nd Edition ISBN: 978-0-8155-2031-3, 2005.

- [28] S. Logothetidis, "Surface and Interface Properties of Amorphous Carbon Layers on Rigid and Flexible Substrates", Thin Solid Films, Vol. 482, pp. 9-18, 2005.

- [29] B. Dekoven, P. R. Ward and R. E. Weiss, "Carbon Thin Film Deposition Using High Power Pulsed Magnetron Sputtering", 46th Annual Technical Conference Proceeding Society of Vacuum Coaters, pp. 158-165, 2003.

۶- پی‌نوشت

- 1- Saturated Calomel Electrode
- 2- Full Width at Half Maximum
- 3- Cappeli
- 4- Capano
- 5- Tay
- 6- Filtered Cathode Vacum Arc
- 7- Ferarri
- 8- Structural Zone Model
- 9- Movchan
- 10- Demchishin
- 11- Thornton